

# INVARIANTS DE GRAPHES LIÉS AUX GAZ IMPARFAITS

Amel Kaouche, LaCIM - UQAM

Septembre 2008, 61<sup>e</sup> Séminaire Lotharingien de Combinatoire

En collaboration avec Pierre Leroux

# CONTENU DE L'EXPOSÉ

- Fonctions de poids de Mayer et de Ree-Hoover pour les graphes

## CONTENU DE L'EXPOSÉ

- Fonctions de poids de Mayer et de Ree-Hoover pour les graphes
- Propriété de multiplicativité du poids de Mayer

## CONTENU DE L'EXPOSÉ

- Fonctions de poids de Mayer et de Ree-Hoover pour les graphes
- Propriété de multiplicativité du poids de Mayer
- Interprétation des poids en termes de volumes signés de polytopes

## CONTENU DE L'EXPOSÉ

- Fonctions de poids de Mayer et de Ree-Hoover pour les graphes
- Propriété de multiplicativité du poids de Mayer
- Interprétation des poids en termes de volumes signés de polytopes
- Méthodes des homomorphismes de graphes

## CONTENU DE L'EXPOSÉ

- Fonctions de poids de Mayer et de Ree-Hoover pour les graphes
- Propriété de multiplicativité du poids de Mayer
- Interprétation des poids en termes de volumes signés de polytopes
- Méthodes des homomorphismes de graphes
- Formules explicites pour certaines familles infinies de graphes

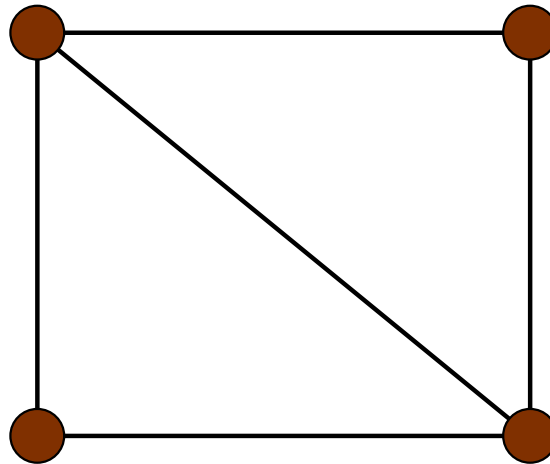
## CONTENU DE L'EXPOSÉ

- Fonctions de poids de Mayer et de Ree-Hoover pour les graphes
- Propriété de multiplicativité du poids de Mayer
- Interprétation des poids en termes de volumes signés de polytopes
- Méthodes des homomorphismes de graphes
- Formules explicites pour certaines familles infinies de graphes
- Poids de Mayer des graphes bipartis complets

## CONTENU DE L'EXPOSÉ

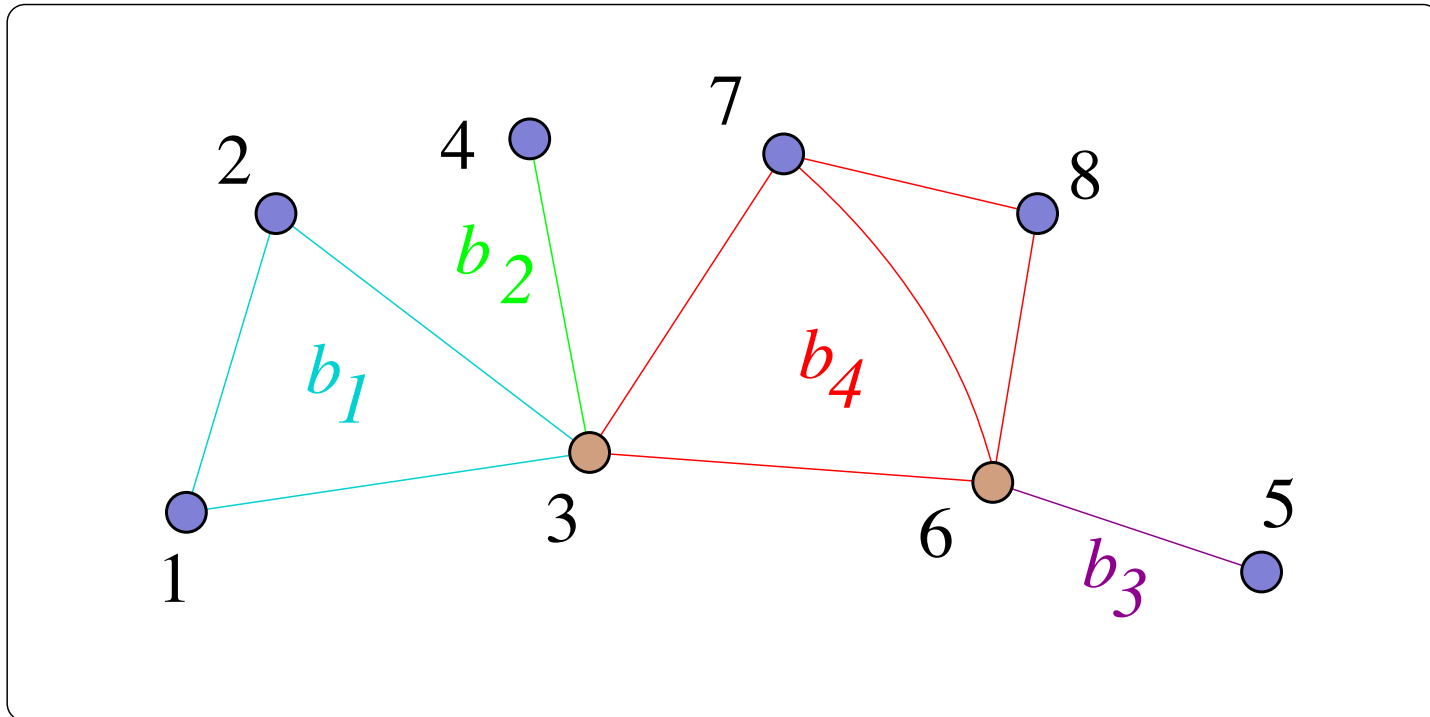
- Fonctions de poids de Mayer et de Ree-Hoover pour les graphes
- Propriété de multiplicativité du poids de Mayer
- Interprétation des poids en termes de volumes signés de polytopes
- Méthodes des homomorphismes de graphes
- Formules explicites pour certaines familles infinies de graphes
- Poids de Mayer des graphes bipartis complets
- $w_M(c)$  et  $w_{RH}(c)$  sont des fonctions de quels paramètres?

## GRAPHE 2-CONNEXE (BLOC)



Un graphe 2-connexe

# GRAPHE CONNEXE



Un graphe connexe avec ses blocs  $b_1, b_2, b_3, b_4$

# DÉVELOPPEMENT DU VIRIEL

*Développement du viriel:*

$$\frac{P}{kT} = \rho + \beta_2 \rho^2 + \beta_3 \rho^3 + \dots$$

# DÉVELOPPEMENT DU VIRIEL

*Développement du viriel:*

$$\frac{P}{kT} = \rho + \beta_2 \rho^2 + \beta_3 \rho^3 + \dots$$

- $P$  : pression
- $k$  : constante
- $T$  : température
- $\rho$  : densité

*Coefficient du viriel:*

$$\beta_n = \frac{1-n}{n!} \sum_{b \in \mathcal{B}[n]} w_M(b)$$

# DÉVELOPPEMENT DU VIRIEL

*Développement du viriel:*

$$\frac{P}{kT} = \rho + \beta_2 \rho^2 + \beta_3 \rho^3 + \dots$$

- $P$  : pression
- $k$  : constante
- $T$  : température
- $\rho$  : densité

*Coefficient du viriel:*

$$\begin{aligned}\beta_n &= \frac{1-n}{n!} \sum_{b \in \mathcal{B}[n]} w_M(b) \\ &= \frac{1-n}{n!} \sum_{b \in \mathcal{B}[n]} \bar{a}_n(b) w_{RH}(b)\end{aligned}$$

$\mathcal{B}[n]$  = l'ensemble des graphes 2–connexes (blocs) sur  $[n]$

# POIDS DE GRAPHES

*Poids de graphes:* fonctions sur les graphes invariantes sous les réétiquetages des sommets

*Poids de Mayer:*

$$w_M(c) = \int_{(\mathbb{R}^d)^{n-1}} \prod_{\{i,j\} \in c} f(\|\vec{x}_i - \vec{x}_j\|) d\vec{x}_1 \cdots d\vec{x}_{n-1}$$

# POIDS DE GRAPHES

*Poids de graphes:* fonctions sur les graphes invariantes sous les réétiquetages des sommets

*Poids de Mayer:*

$$w_M(c) = \int_{(\mathbb{R}^d)^{n-1}} \prod_{\{i,j\} \in c} f(\|\vec{x}_i - \vec{x}_j\|) d\vec{x}_1 \cdots d\vec{x}_{n-1}$$

avec

- $\vec{x}_n = 0$
- $c$  : graphe connexe avec  $n$  sommets
- $\vec{x}_1, \dots, \vec{x}_n \in \mathbb{R}^d$  : positions des  $n$  particules
- $f = f(r)$  : fonction à valeurs réelles associée à l'interaction des particules deux-à-deux

## POIDS DE GRAPHES

*Poids de Ree-Hoover:*

$$w_{RH}(b) = \int_{(\mathbb{R}^d)^{n-1}} \prod_{\{i,j\} \in b} f(\|\vec{x}_i - \vec{x}_j\|) \prod_{\{i,j\} \in \bar{b}} \bar{f}(\|\vec{x}_i - \vec{x}_j\|) d\vec{x}_1 \cdots d\vec{x}_{n-1}$$

## POIDS DE GRAPHES

*Poids de Ree-Hoover:*

$$w_{RH}(b) = \int_{(\mathbb{R}^d)^{n-1}} \prod_{\{i,j\} \in b} f(\|\vec{x}_i - \vec{x}_j\|) \prod_{\{i,j\} \in \bar{b}} \bar{f}(\|\vec{x}_i - \vec{x}_j\|) d\vec{x}_1 \cdots d\vec{x}_{n-1}$$

avec

- $\vec{x}_n = 0$
- $b$  : graphe 2-connexe avec  $n$  sommets
- $\bar{f}(r) = 1 + f(r)$
- $\bar{b} = K_n \setminus b$  : graphe complémentaire de  $b$

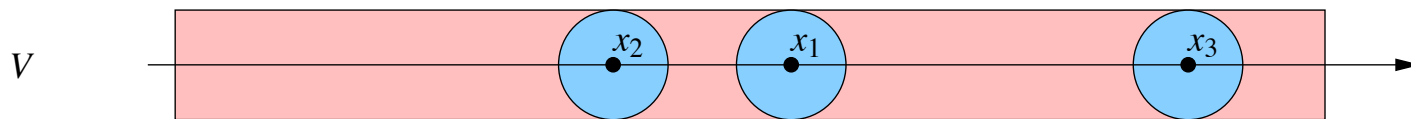
## RELATION ENTRE $w_M$ ET $w_{RH}$

Pour tout graphe 2-connexe  $b$ , on a

- $w_{RH}(b) = \sum_{b \subseteq d \subseteq K_n} w_M(d)$  (par définition)
- $w_M(b) = \sum_{b \subseteq d \subseteq K_n} (-1)^{e(d)-e(b)} w_{RH}(d)$  (par inversion de Möbius)
- $|w_M(b)| = \sum_{b \subseteq d \subseteq K_n} |w_{RH}(d)|$  (dans le cas d'un gaz à noyaux durs)

# CAS SPÉCIAL : GAZ À NOYAUX DURS POUR $d = 1$

Particules dures dans  $V = [-\frac{v}{2}, \frac{v}{2}]$

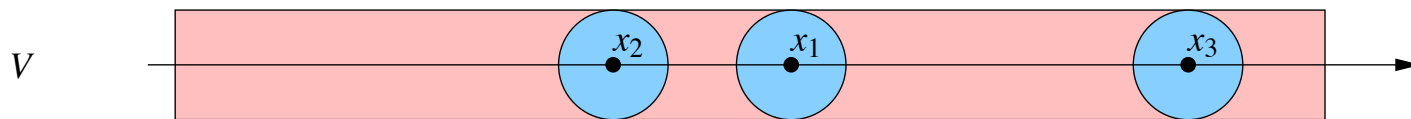


$$f(x, y) = -\chi(|x - y| < 1)$$

$$\bar{f}(x, y) = \chi(|x - y| \geq 1)$$

# CAS SPÉCIAL : GAZ À NOYAUX DURS POUR $d = 1$

Particules dures dans  $V = [-\frac{v}{2}, \frac{v}{2}]$



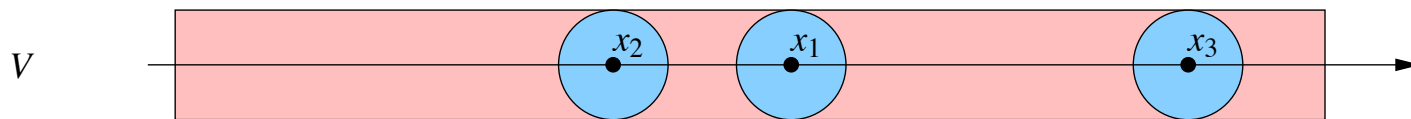
$$f(x, y) = -\chi(|x - y| < 1)$$

$$\bar{f}(x, y) = \chi(|x - y| \geq 1)$$

$$w_M(b) = (-1)^{e(b)} \int_{R^{n-1}} \prod_{\{i, j\} \in b} \chi(|x_i - x_j| < 1) dx_1 \dots dx_{n-1}$$

# CAS SPÉCIAL : GAZ À NOYAUX DURS POUR $d = 1$

Particules dures dans  $V = [-\frac{v}{2}, \frac{v}{2}]$



$$f(x, y) = -\chi(|x - y| < 1)$$

$$\bar{f}(x, y) = \chi(|x - y| \geq 1)$$

$$w_M(b) = (-1)^{e(b)} \int_{R^{n-1}} \prod_{\{i,j\} \in b} \chi(|x_i - x_j| < 1) dx_1 \dots dx_{n-1}$$

$$w_{RH}(b) = (-1)^{e(b)} \int_{R^{n-1}} \prod_{\{i,j\} \in b} \chi(|x_i - x_j| < 1) \cdot \prod_{\{i,j\} \in \bar{b}} \chi(|x_i - x_j| \geq 1) dx_1 \dots dx_{n-1}$$

## POIDS ET VOLUME DE POLYTOPES

$$\begin{aligned}w_M(c) &= (-1)^{e(c)} \int_{\mathbb{R}^{n-1}} \prod_{\{i,j\} \in c} \chi(|x_i - x_j| < 1) dx_1 \dots dx_{n-1}, \quad x_n = 0 \\ &= (-1)^{e(c)} \text{Vol}(P(c))\end{aligned}$$

## POIDS ET VOLUME DE POLYTOPES

$$\begin{aligned}w_M(c) &= (-1)^{e(c)} \int_{\mathbb{R}^{n-1}} \prod_{\{i,j\} \in c} \chi(|x_i - x_j| < 1) dx_1 \dots dx_{n-1}, \quad x_n = 0 \\ &= (-1)^{e(c)} \text{Vol}(P(c))\end{aligned}$$

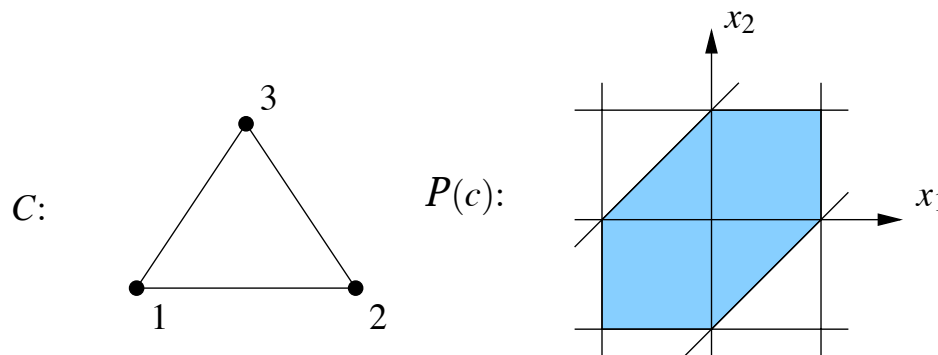
où  $P(c) = \{X \in \mathbb{R}^n \mid x_n = 0 \text{ et } |x_i - x_j| \leq 1 \ \forall \{i, j\} \in c\}$

## POIDS ET VOLUME DE POLYTOPES

$$\begin{aligned}w_M(c) &= (-1)^{e(c)} \int_{\mathbb{R}^{n-1}} \prod_{\{i,j\} \in c} \chi(|x_i - x_j| < 1) dx_1 \dots dx_{n-1}, \quad x_n = 0 \\ &= (-1)^{e(c)} \text{Vol}(P(c))\end{aligned}$$

où  $P(c) = \{X \in \mathbb{R}^n \mid x_n = 0 \text{ et } |x_i - x_j| \leq 1 \ \forall \{i,j\} \in c\}$

Exemple



# LE POLYNÔME D'EHRHART

Théorème d'Ehrhart

$$\# \left( N \cdot P(c) \cap \mathbb{Z}^n \right) = a_0 N^n + a_1 N^{n-1} + \cdots + a_n$$

et

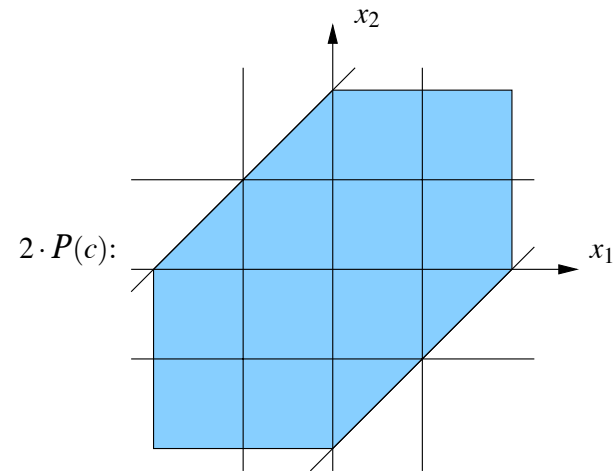
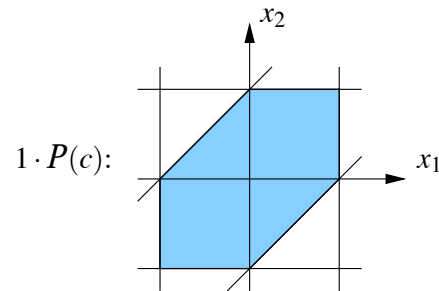
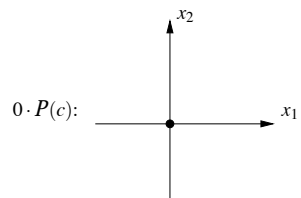
$$a_0 = \text{Vol}(P(c))$$

avec

$a_0 N^n + a_1 N^{n-1} + \cdots + a_n$  : polynôme d'Ehrhart

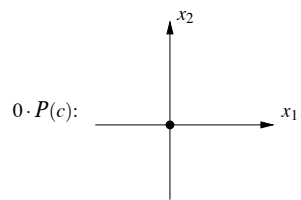
# LE POLYNÔME D'EHRHART

Exemple

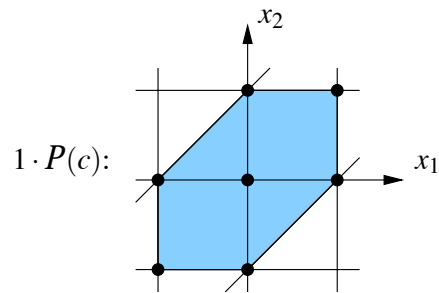


# LE POLYNÔME D'EHRHART

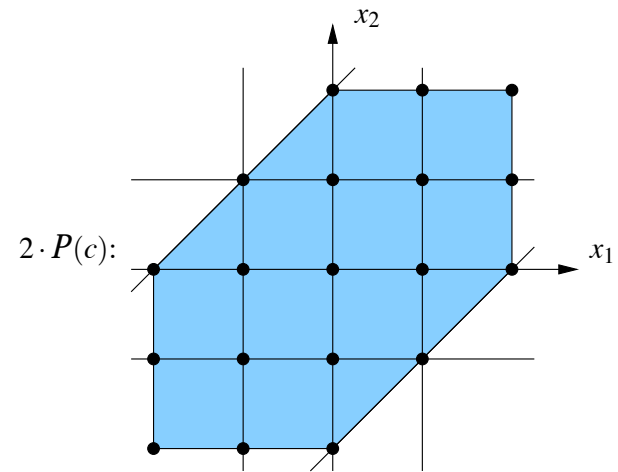
Exemple



1



7



19

# LE POLYNÔME D'EHRHART

Exemple

| $N$ | $\#(N \cdot P(c) \cap \mathbb{Z}^2)$ |
|-----|--------------------------------------|
| 0   | 1                                    |
| 1   | 7                                    |
| 2   | 19                                   |

## LE POLYNÔME D'EHRHART

Exemple

| $N$ | $\#(N \cdot P(c) \cap \mathbb{Z}^2)$ |
|-----|--------------------------------------|
| 0   | 1                                    |
| 1   | 7                                    |
| 2   | 19                                   |

Donc

le polynôme d'Ehrhart =  $3N^2 + 3N + 1$

## MÉTHODE DES HOMOMORPHISMES DE GRAPHES

$$\begin{aligned}w_M(c) &= (-1)^{e(c)} \int_{\mathbb{R}^{n-1}} \prod_{\{i,j\} \in c} \chi(|x_i - x_j| < 1) dx_1 \dots dx_{n-1}, \quad x_n = 0 \\ &= (-1)^{e(c)} \text{Vol}(P(c))\end{aligned}$$

## MÉTHODE DES HOMOMORPHISMES DE GRAPHS

$$\begin{aligned}w_M(c) &= (-1)^{e(c)} \int_{\mathbb{R}^{n-1}} \prod_{\{i,j\} \in c} \chi(|x_i - x_j| < 1) dx_1 \dots dx_{n-1}, \quad x_n = 0 \\ &= (-1)^{e(c)} \text{Vol}(P(c))\end{aligned}$$

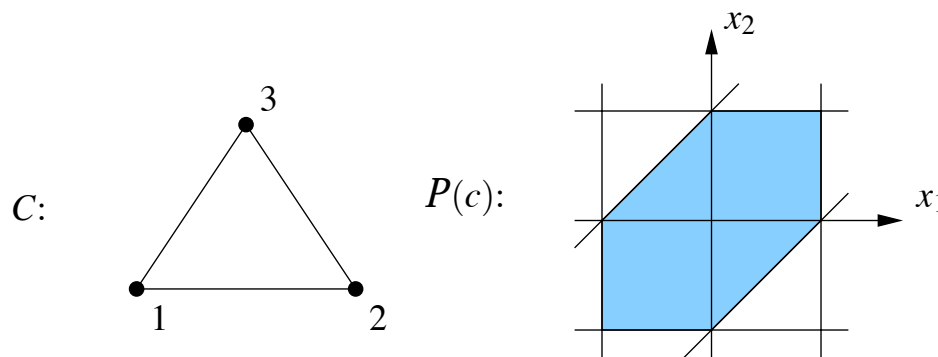
où  $P(c) = \{X \in \mathbb{R}^n \mid x_n = 0 \text{ et } |x_i - x_j| \leq 1 \ \forall \{i, j\} \in c\}$

# MÉTHODE DES HOMOMORPHISMES DE GRAPHES

$$\begin{aligned}w_M(c) &= (-1)^{e(c)} \int_{\mathbb{R}^{n-1}} \prod_{\{i,j\} \in c} \chi(|x_i - x_j| < 1) dx_1 \dots dx_{n-1}, \quad x_n = 0 \\ &= (-1)^{e(c)} \text{Vol}(P(c))\end{aligned}$$

où  $P(c) = \{X \in \mathbb{R}^n \mid x_n = 0 \text{ et } |x_i - x_j| \leq 1 \ \forall \{i, j\} \in c\}$

Exemple

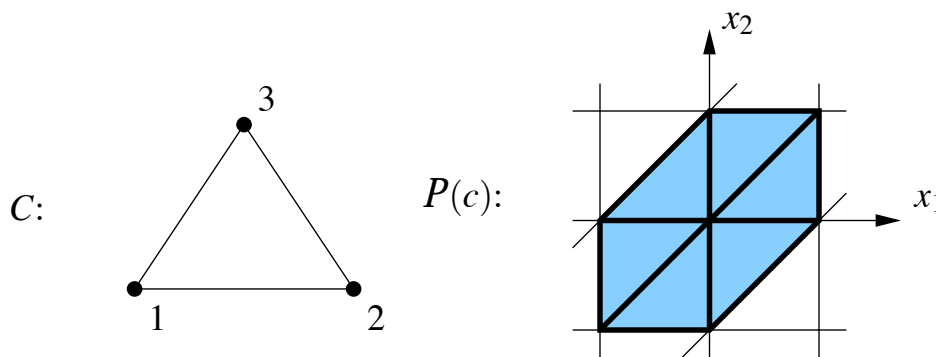


# MÉTHODE DES HOMOMORPHISMES DE GRAPHES

$$\begin{aligned}w_M(c) &= (-1)^{e(c)} \int_{\mathbb{R}^{n-1}} \prod_{\{i,j\} \in c} \chi(|x_i - x_j| < 1) dx_1 \dots dx_{n-1}, \quad x_n = 0 \\ &= (-1)^{e(c)} \text{Vol}(P(c)),\end{aligned}$$

où  $P(c) = \{X \in \mathbb{R}^n \mid x_n = 0 \text{ et } |x_i - x_j| \leq 1 \ \forall \{i, j\} \in c\}$

Exemple



# MÉTHODE DES HOMOMORPHISMES DE GRAPHERS

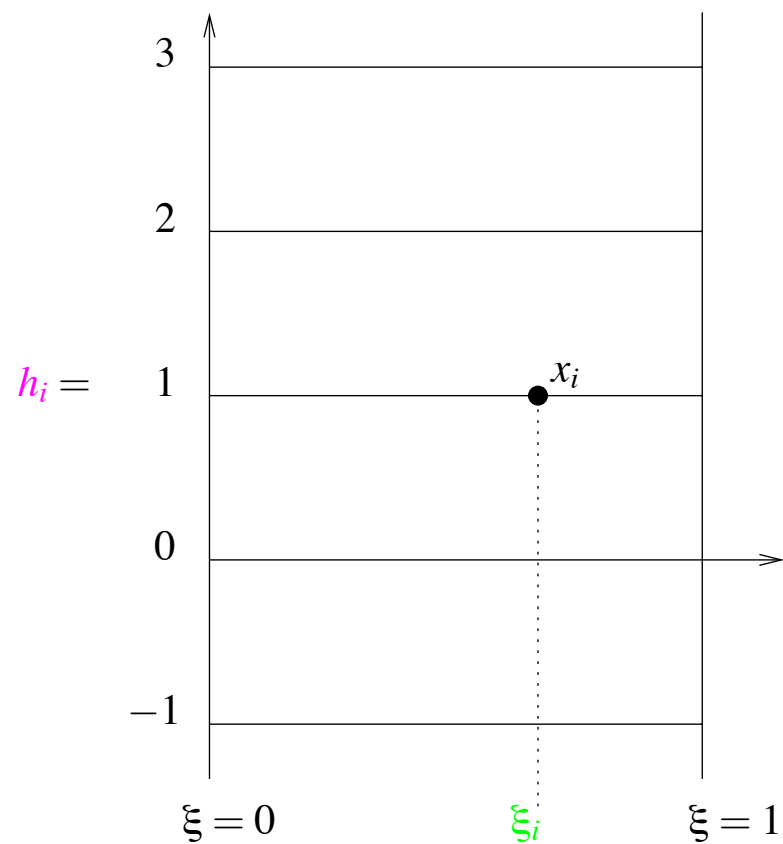
Représentation fractionnaire:  $x_i = h_i + \xi_i$

$h_i$  : partie entière de  $x_i$        $\xi_i$  : partie fractionnaire de  $x_i$

# MÉTHODE DES HOMOMORPHISMES DE GRAPHES

Représentation fractionnaire:  $x_i = h_i + \xi_i$

$h_i$  : partie entière de  $x_i$      $\xi_i$  : partie fractionnaire de  $x_i$

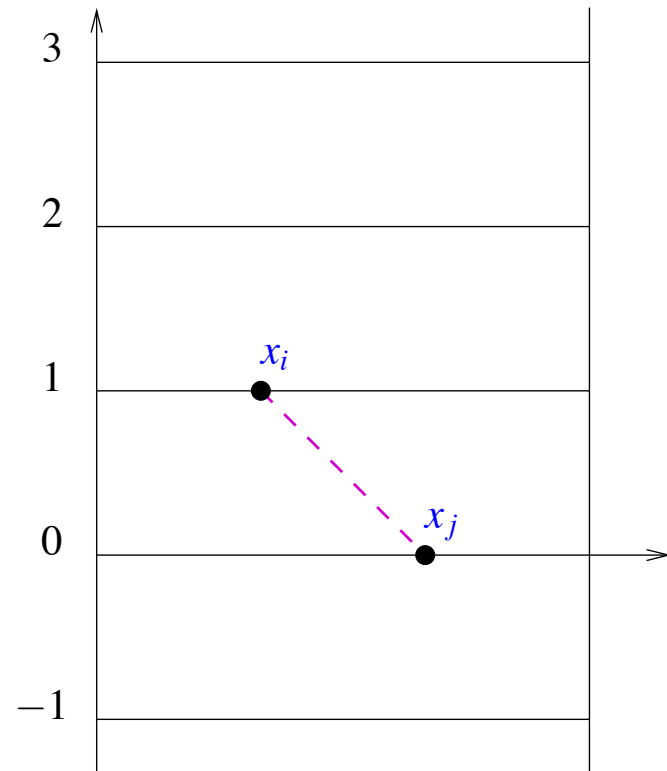
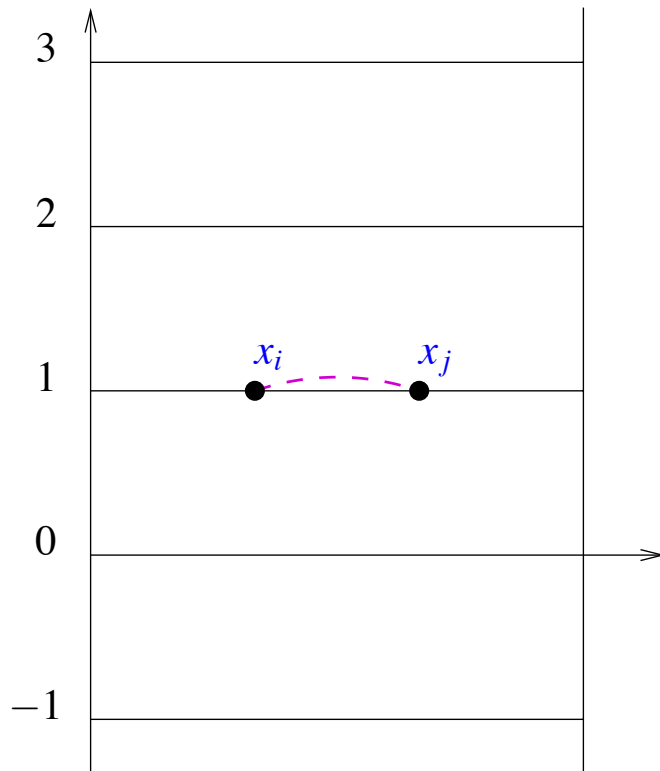


# MÉTHODE DES HOMOMORPHISMES DE GRAPHS

$$|x_i - x_j| < 1 \iff$$

# MÉTHODE DES HOMOMORPHISMES DE GRAPHERS

$$|x_i - x_j| < 1 \iff$$

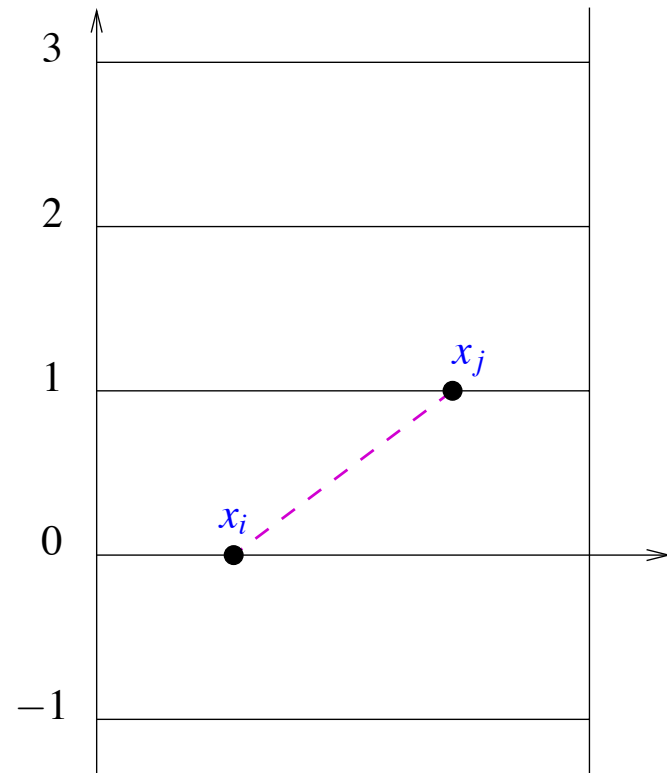
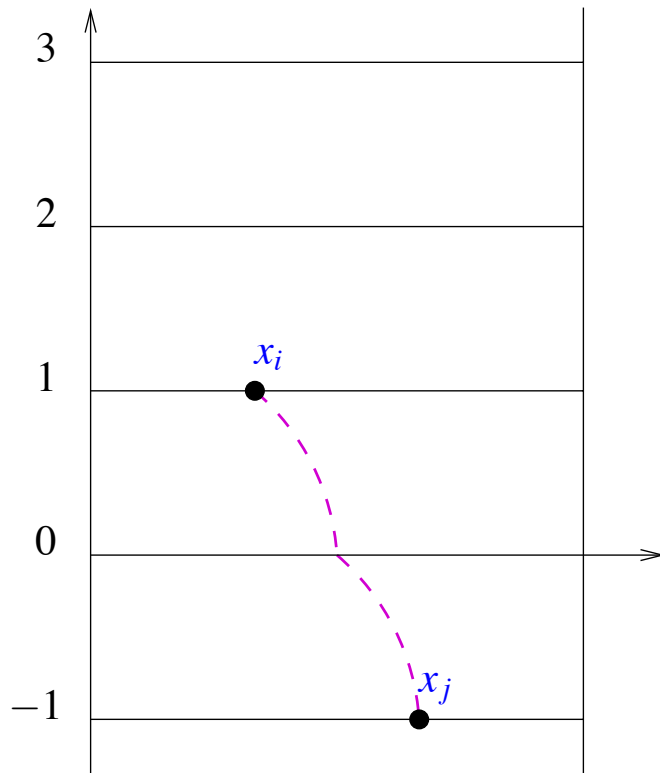


# MÉTHODE DES HOMOMORPHISMES DE GRAPHS

$$|x_i - x_j| > 1 \iff$$

# MÉTHODE DES HOMOMORPHISMES DE GRAPHES

$$|x_i - x_j| > 1 \iff$$



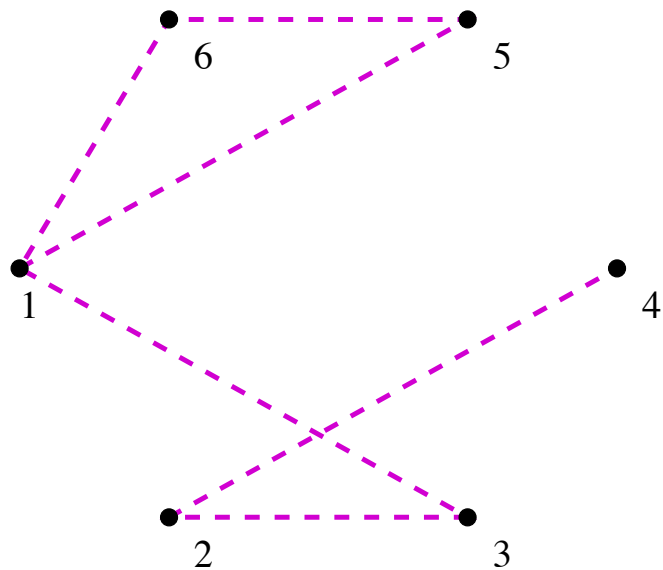
# MÉTHODE DES HOMOMORPHISMES DE GRAPHERS

- **Idée [Bodo Lass]:** Évaluer le volume du polytope  $P(c)$  en le décomposant en  $\nu(c)$  simplexes (valides) chacun de volume  $\frac{1}{(n-1)!}$

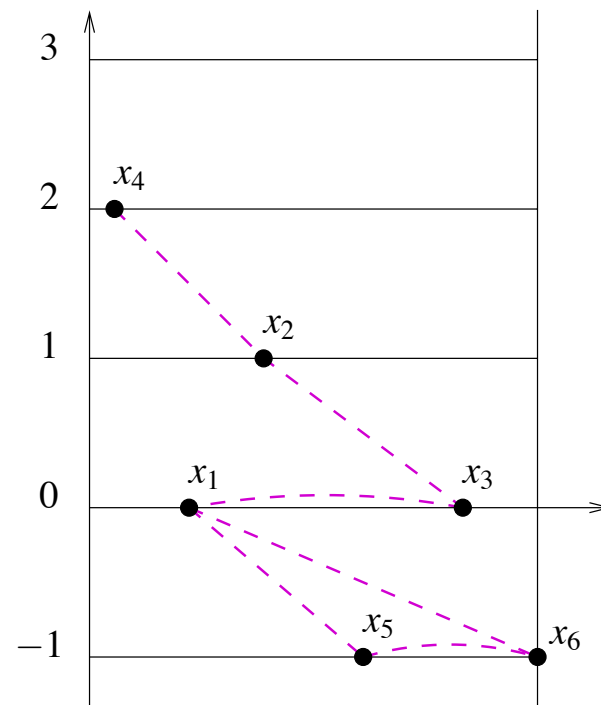
# MÉTHODE DES HOMOMORPHISMES DE GRAPHERS

- **Idée [Bodo Lass]:** Évaluer le volume du polytope  $P(c)$  en le décomposant en  $\mathbf{v}(c)$  simplexes (valides) chacun de volume  $\frac{1}{(n-1)!}$
- **Comment:** Ces simplexes sont classifiés en fixant les parties entières  $(h_1, h_2, \dots, h_n)$  et les positions relatives des parties fractionnaires  $(\xi_1, \xi_2, \dots, \xi_n)$  des coordonnées des points  $X = (x_1, x_2, \dots, x_n) \in P(c)$

# MÉTHODE DES HOMOMORPHISMES DE GRAPHES



$$\begin{aligned}
 h_1 &= 0 \\
 h_2 &= 1 \\
 h_3 &= 0 \\
 h_4 &= 2 \\
 h_5 &= -1 \\
 h_6 &= -1
 \end{aligned}$$



$$\xi_4 < \xi_1 < \xi_2 < \xi_5 < \xi_3 < \xi_6$$

# MÉTHODE DES HOMOMORPHISMES DE GRAPHS

- Simplexes valides:

$$\forall \{i, j\} \in c, \xi_i < \xi_j \text{ implique } h_i = h_j \text{ ou } h_i = h_j + 1$$

# MÉTHODE DES HOMOMORPHISMES DE GRAPHES

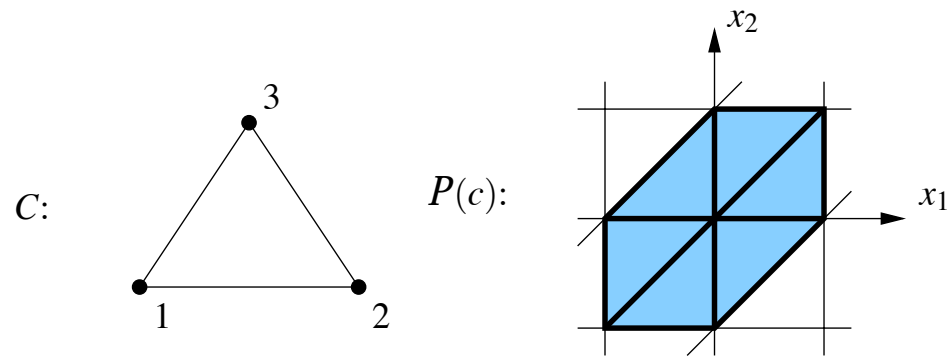
- Simplexes valides:

$$\forall \{i, j\} \in c, \xi_i < \xi_j \text{ implique } h_i = h_j \text{ ou } h_i = h_j + 1$$

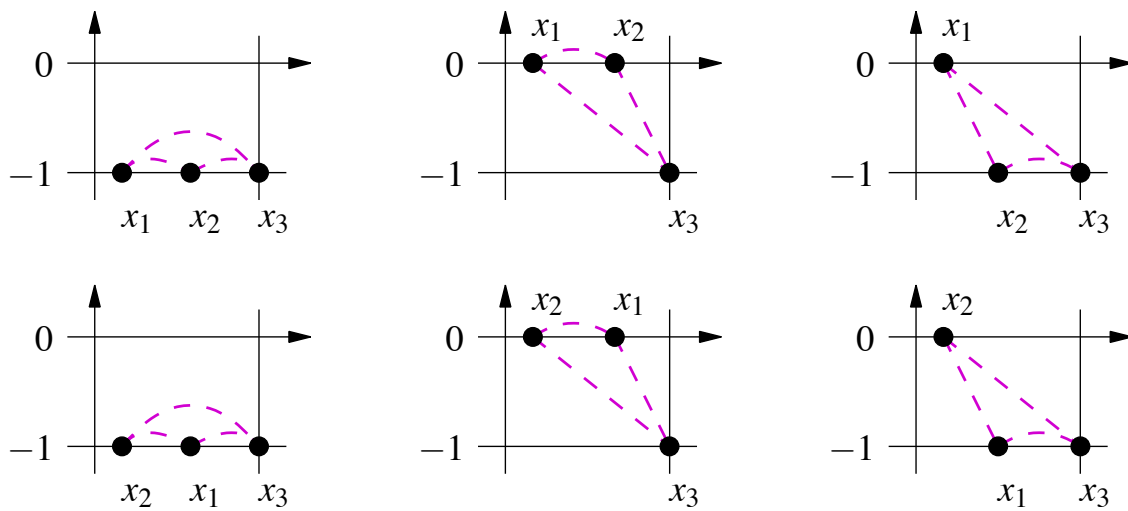
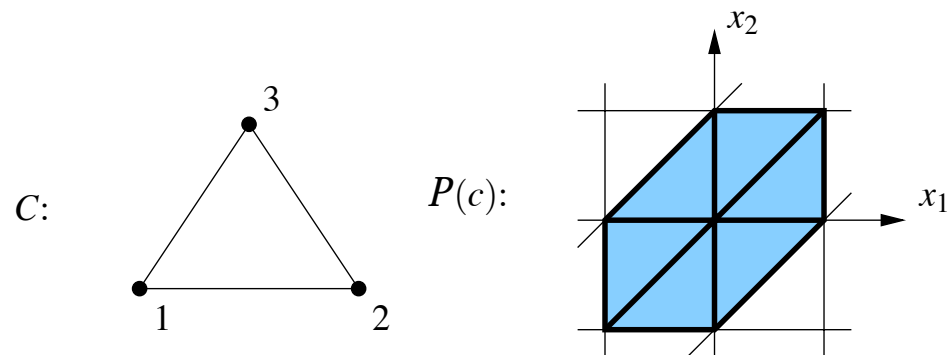
- Prop [Bodo Lass]:  $Vol(P(c)) = \frac{v(c)}{(n-1)!}$  où

$$\begin{aligned} v(c) &= \# \text{ de simplexes valides de } P(c) \\ &= \# \text{ de configurations pour le graphe } c \end{aligned}$$

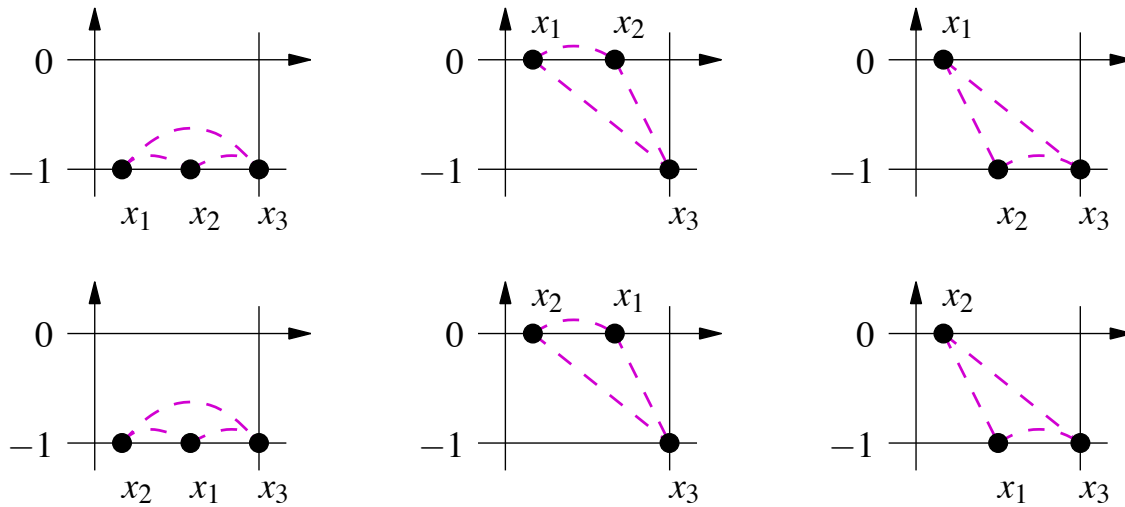
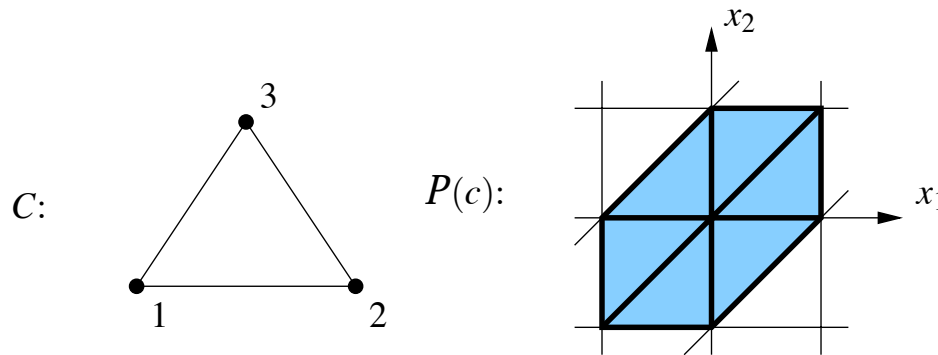
# NOMBRE DE CONFIGURATIONS



# NOMBRE DE CONFIGURATIONS



# NOMBRE DE CONFIGURATIONS

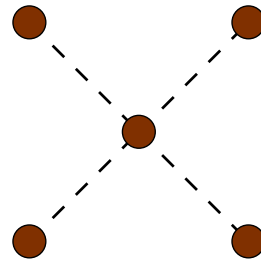


Le poids de chaque configuration est  $\frac{(-1)^{e(c)}}{(n-1)!}$

# NOUVELLES FORMULES EXPLICITES

Soit  $S_k$  le graphe  $k$ -étoile

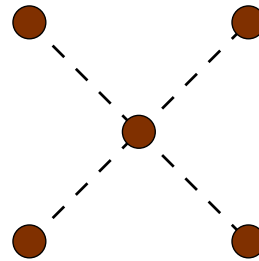
Le graphe  $S_4$



# NOUVELLES FORMULES EXPLICITES

Soit  $S_k$  le graphe  $k$ -étoile

Le graphe  $S_4$



Pour  $k \geq 1$ ,  $n \geq k + 3$ , on a

$$|w_M(K_n \setminus S_k)| = n + 2 \sum_{j=1}^k \frac{j! \binom{k}{j}}{(n-1)(n-2) \cdots (n-j)}$$

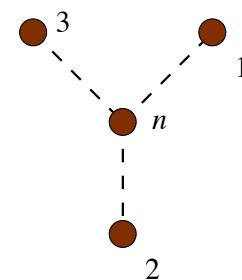
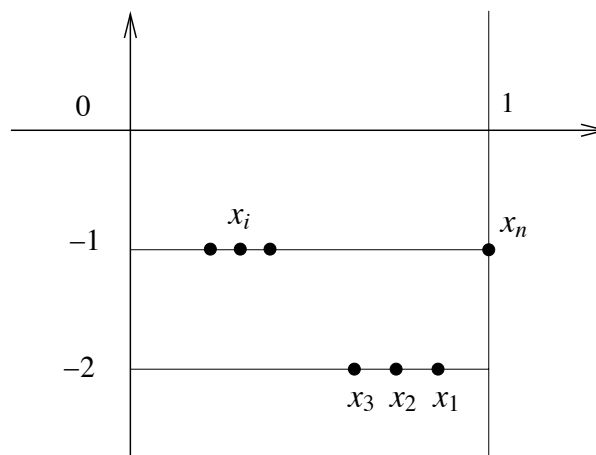
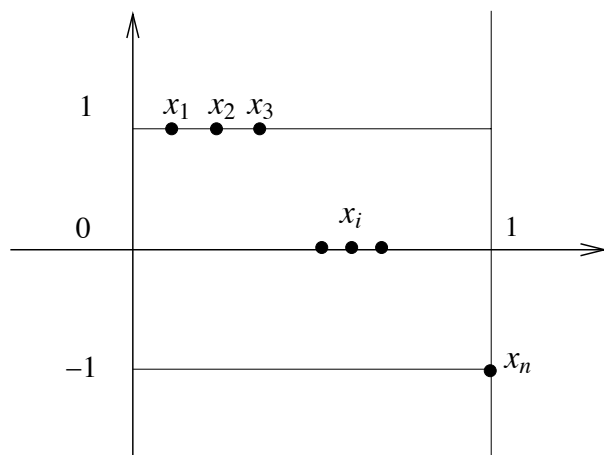
$$|w_{RH}(K_n \setminus S_k)| = \frac{2k!}{(n-1)(n-2) \cdots (n-k)}$$

## LE POIDS DE REE-HOOVER DE $K_n \setminus S_3$

Pour  $n \geq 3$  et  $g_n = K_n \setminus S_3$  :  $|w_{RH}(g_n)| = \frac{12}{(n-1)(n-2)(n-3)}$

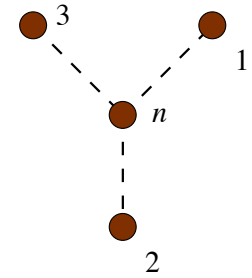
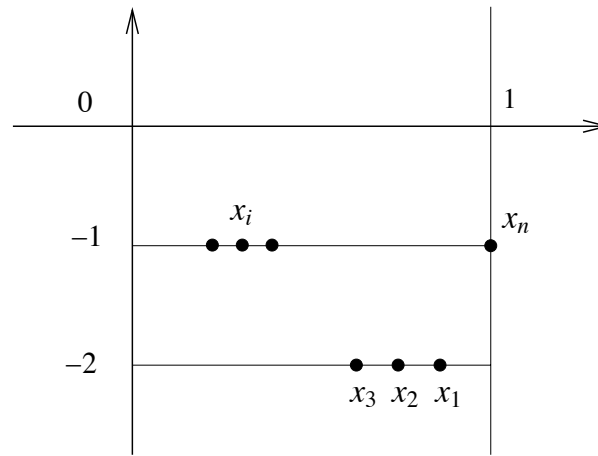
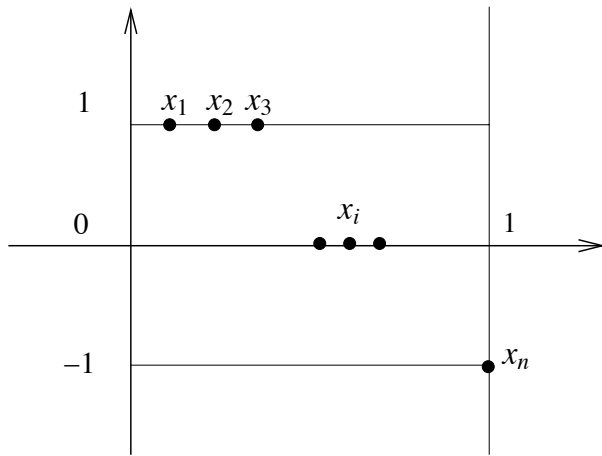
# LE POIDS DE REE-HOOVER DE $K_n \setminus S_3$

Pour  $n \geq 3$  et  $g_n = K_n \setminus S_3$  :  $|w_{RH}(g_n)| = \frac{12}{(n-1)(n-2)(n-3)}$



# LE POIDS DE REE-HOOVER DE $K_n \setminus S_3$

Pour  $n \geq 3$  et  $g_n = K_n \setminus S_3$  :  $|w_{RH}(g_n)| = \frac{12}{(n-1)(n-2)(n-3)}$



$2 \cdot 3! \cdot (n-4)!$  RH-configurations

## LE POIDS DE MAYER DE $K_n \setminus S_3$

On a  $|w_M(g_n)| = n + \frac{6}{(n-1)} + \frac{12}{(n-1)(n-3)}$

## LE POIDS DE MAYER DE $K_n \setminus S_3$

$$\text{On a } |w_M(g_n)| = n + \frac{6}{(n-1)} + \frac{12}{(n-1)(n-3)}$$

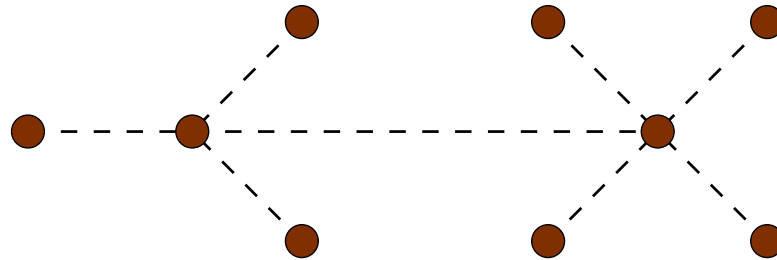
En effet

$$\begin{aligned} |w_M(g_n)| &= \sum_{g_n \subseteq d \subseteq K_n} |w_{RH}(d)| \\ &= |w_{RH}(K_n)| + 3|w_{RH}(K_n \setminus S_1)| + \binom{3}{2} |w_{RH}(K_n \setminus S_2)| + 1|w_{RH}(K_n \setminus S_3)| \\ &= n + 3 \frac{2}{n-1} + \binom{3}{2} \frac{4}{(n-1)(n-2)} + 1 \frac{12}{(n-1)(n-2)(n-3)} \\ &= n + \frac{6}{(n-1)} + \frac{12}{(n-1)(n-3)} \end{aligned}$$

## AUTRES FORMULES EXPLICITES

Soit  $(S_j - S_k)$  le graphe obtenu en joignant par une nouvelle arête les centres d'une  $j$ -étoile et d'une  $k$ -étoile

Le graphe  $S_3 - S_4$



Pour  $j \geq k \geq 1$ ,  $n \geq k + j + 3$  et  $g_n = K_n \setminus (S_j - S_k)$

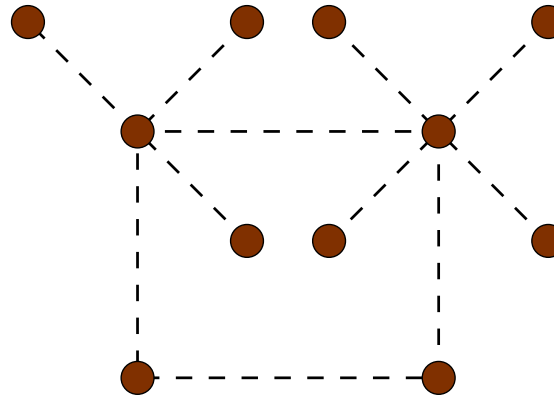
$$|w_{RH}(g_n)| = \frac{2k!j!}{(n-1)(n-2)\cdots(n-(k+j+1))}$$

$$|w_M(g_n)| = n + \sum_{l=1}^{j+1} 2 \left[ \binom{j+1}{l} + \binom{k+1}{l} \right] \frac{l!}{(n-1)\cdots(n-l)} - \frac{2}{(n-1)} \\ + \sum_{m=1}^j \sum_{l=1}^k 2 \binom{j}{m} \binom{k}{l} \frac{m!l!}{(n-1)\cdots(n-(m+l+1))}$$

## FORMULES EXPLICITES (SUITE)

Soit  $(S_j \cdot C_4 \cdot S_k)$  le graphe obtenu en joignant par une arête du graphe  $C_4$  les centres d'une  $j$ -étoile et d'une  $k$ -étoile

Le graphe  $S_3 \cdot C_4 \cdot S_4$



Pour  $j \geq k \geq 1$ ,  $n \geq k + j + 5$  et  $g_n = K_n \setminus (S_j \cdot C_4 \cdot S_k)$

$$|w_{RH}(g_n)| = \frac{2k!j!}{(n-1)(n-2)\cdots(n-(k+j+3))}$$

## FORMULES EXPLICITES (SUITE)

$$\begin{aligned}
 |w_M(g_n)| &= n + \sum_{l=1}^{j+2} 2 \left[ \binom{j+2}{l} + \binom{k+2}{l} \right] \frac{l!}{(n-1) \cdots (n-l)} \\
 &\quad + \frac{8}{(n-1)(n-2)} + \frac{10}{(n-1)(n-2)(n-3)} \\
 &\quad + \sum_{l=1}^j 4 \left[ \binom{j}{l} + \binom{k}{l} \right] \frac{l!}{(n-1) \cdots (n-(l+3))} \\
 &\quad + \sum_{m=1}^j \sum_{l=1}^k 2 \binom{j}{m} \binom{k}{l} \frac{m!l!}{(n-1) \cdots (n-(m+l+3))} \\
 &\quad + \sum_{l=1}^{j+1} 2 \left[ \binom{j+1}{l} + \binom{k+1}{l} \right] \frac{l!}{(n-1) \cdots (n-(l+2))} \\
 &\quad + \sum_{m=1}^{j+1} \sum_{l=1}^{k+1} 2 \binom{j+1}{m} \binom{k+1}{l} \frac{m!l!}{(n-1) \cdots (n-(l+1))}
 \end{aligned}$$

# GRAPHES BIPARTIS COMPLETS

En collaboration avec Gilbert Labelle

$$w_M(K_{m,n}) = (-1)^{mn} \cdot \frac{2^{m+n-1} m! n!}{(m+n-1)!}$$

Preuve: Méthode des homomorphismes de graphes

$w_M(c)$  ET  $w_{RH}(c)$  SONT  
FONCTIONS DE QUELS PARAMÈTRES?

Exemple 1: Le cas Gaussien en dimension  $d$

$$f(r) = -\exp(-\alpha r^2), \quad \alpha > 0$$

$$w_M(c) = (-1)^{e(c)} \left(\frac{\pi}{\alpha}\right)^{\frac{d(n-1)}{2}} \gamma(c)^{-\frac{d}{2}}$$

## $w_M(c)$ ET $w_{RH}(c)$ SONT FONCTIONS DE QUELS PARAMÈTRES?

Exemple 1: Le cas Gaussien en dimension  $d$

$$f(r) = -\exp(-\alpha r^2), \quad \alpha > 0$$

$$w_M(c) = (-1)^{e(c)} \left(\frac{\pi}{\alpha}\right)^{\frac{d(n-1)}{2}} \gamma(c)^{-\frac{d}{2}}$$

- $\gamma(c)$  = complexité du graphe  $c$  = # d'arbres couvrants de  $c$ 
  - $n$  = # de sommets
  - $e(c)$  = # d'arêtes

$w_M(c)$  ET  $w_{RH}(c)$  SONT  
FONCTIONS DE QUELS PARAMÈTRES?

Exemple 2: Le cas d'un gaz à noyaux durs en dimension 1

$$f(r) = -\chi(|r| < 1)$$
$$w_M(c) = (-1)^{e(c)} \int_{R^{n-1}} \prod_{\{i,j\} \in c} \chi(|x_i - x_j| < 1) dx_1 \dots dx_{n-1}$$

## $w_M(c)$ ET $w_{RH}(c)$ SONT FONCTIONS DE QUELS PARAMÈTRES?

Exemple 2: Le cas d'un gaz à noyaux durs en dimension 1

$$f(r) = -\chi(|r| < 1)$$

$$w_M(c) = (-1)^{e(c)} \int_{R^{n-1}} \prod_{\{i,j\} \in c} \chi(|x_i - x_j| < 1) dx_1 \dots dx_{n-1}$$

Analyse informatique avec Jérôme Tremblay

$w_M(c) \neq$  une fonction de seulement (# d'arbres couvrants,  
# de sommets, # d'arêtes, liste des degrés)

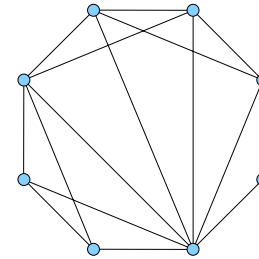
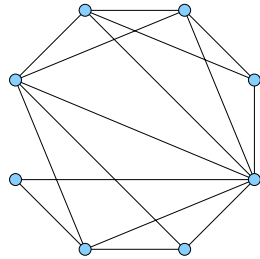
$w_M(c)$  ET  $w_{RH}(c)$  SONT  
FONCTIONS DE QUELS PARAMÈTRES?

Exemple:

$$w_M = \frac{7921}{420}$$

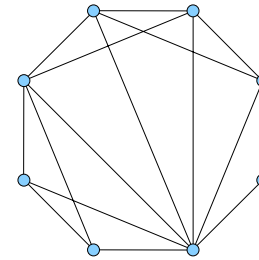
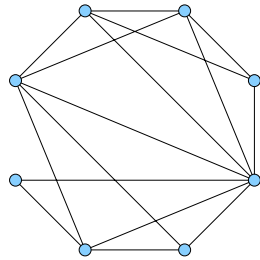
$\neq$

$$w_M = \frac{848}{45}$$



## $w_M(c)$ ET $w_{RH}(c)$ SONT FONCTIONS DE QUELS PARAMÈTRES?

Exemple:  $w_M = \frac{7921}{420} \neq w_M = \frac{848}{45}$



Mais

même # d'arbres couvrants: 2160

même # de sommets: 8

même # d'arêtes: 16

même liste des degrés: (7, 5, 4, 4, 4, 3, 3, 2)

## $w_M(c)$ ET $w_{RH}(c)$ SONT FONCTIONS DE QUELS PARAMÈTRES?

Exemple 3: Le cas d'un gaz à noyaux durs en dimension 1

$$f(r) = -\chi(|r| < 1)$$

$$\bar{f}(r) = \chi(|r| \geq 1)$$

$$w_{RH}(b) = (-1)^{e(b)} \int_{R^{n-1}} \prod_{\{i,j\} \in b} \chi(|x_i - x_j| < 1) \cdot \prod_{\{i,j\} \in \bar{b}} \chi(|x_i - x_j| \geq 1) dx_1 \dots dx_{n-1}$$

## $w_M(c)$ ET $w_{RH}(c)$ SONT FONCTIONS DE QUELS PARAMÈTRES?

Exemple 3: Le cas d'un gaz à noyaux durs en dimension 1

$$f(r) = -\chi(|r| < 1) \qquad \bar{f}(r) = \chi(|r| \geq 1)$$

$$w_{RH}(b) = (-1)^{e(b)} \int_{R^{n-1}} \prod_{\{i,j\} \in b} \chi(|x_i - x_j| < 1) \cdot \prod_{\{i,j\} \in \bar{b}} \chi(|x_i - x_j| \geq 1) dx_1 \dots dx_{n-1}$$

$w_{RH}(b) \neq$  une fonction de seulement (# d'arbres couvrants, # de sommets, # d'arêtes, |groupe d'automorphismes|)

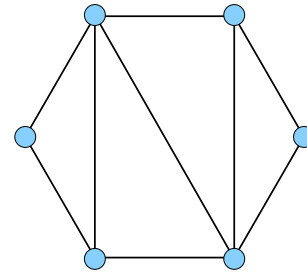
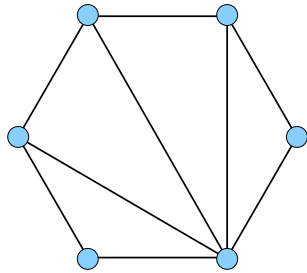
$w_M(c)$  ET  $w_{RH}(c)$  SONT  
FONCTIONS DE QUELS PARAMÈTRES?

Exemple:

$$w_{RH} = 0$$

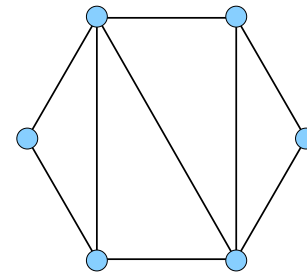
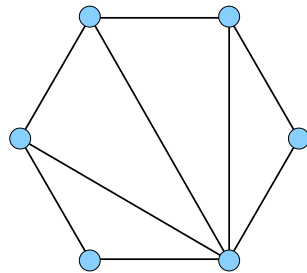
$\neq$

$$w_{RH} = -\frac{1}{30}$$



# $w_M(c)$ ET $w_{RH}(c)$ SONT FONCTIONS DE QUELS PARAMÈTRES?

Exemple:  $w_{RH} = 0 \neq w_{RH} = -\frac{1}{30}$



Mais

même # d'arbres couvrants: 55

même # de sommets: 6

même # d'arêtes: 9

même |groupe d'automorphismes|: 2

MERCI